

# МНОГОЧАСТИЧНЫЕ МОДЫ РАСПАДА МАССИВНЫХ ЯДЕРНО-НЕСТАБИЛЬНЫХ ОСКОЛКОВ

*A.I.Обухов<sup>1)</sup>, Г.Е.Солякин*

*Петербургский институт ядерной физики им.Б.П.Константинова РАН,  
188350, Гатчина, Ленинградская обл.*

*<sup>1)</sup>Радиевый институт им.В.Г.Хлопчика,  
197022, Санкт-Петербург*

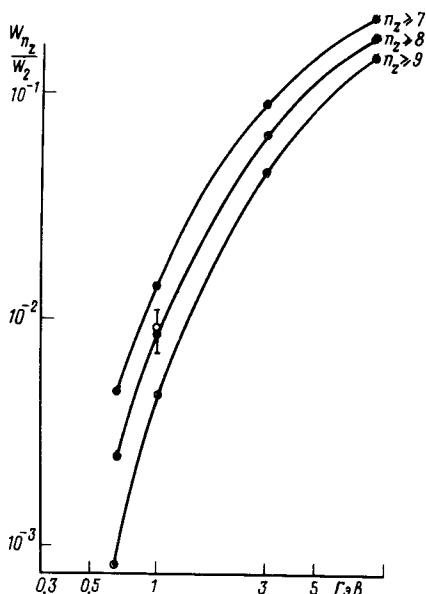
Поступила в редакцию 13 января 1992 г.

Экспериментально установлено, что массивные ядерно-неустойчивые осколки, возникающие в расщеплениях ядер  $^{238}\text{U}$  протонами с энергией 1 ГэВ, испытывают многотелый распад. Наиболее вероятное количество образующихся при этом заряженных частиц найдено равным  $8 \pm 1$ .

Известно, что ядерно-неустойчивые малонуклонные системы могут образовываться в ядерных реакциях при низких и промежуточных энергиях. Трехчастичный распад состояний  $2^+$  ядер  $^6\text{He}$ ,  $^6\text{Li}$ ,  $^6\text{Be}$  исследовался в работе <sup>1</sup>. Большее количество экспериментов выполнено для изучения двухтельных распадов путем измерения кинематических корреляций двух разлетающихся частиц. При этом наиболее массивными ядерно-неустойчивыми образованиями, исследованными методом двухтельной корреляции, оказываются находящиеся в возбужденных состояниях ядра  $^{10}\text{B}$ , распадающиеся по каналам  $^{10}\text{B} \rightarrow ^6\text{Li} + \alpha$  и  $^{10}\text{B} \rightarrow ^9\text{Be} + p$  <sup>2</sup>. Однако в ядерных реакциях при промежуточных энергиях образуются гораздо более массивные ядерно-неустойчивые объекты. В расщеплениях ядер  $^{238}\text{U}$  протонами с энергией 1 ГэВ наблюдались события, в которых наряду с двумя массивными детектируемыми осколками образовывался сравнимый с ними по массе третий ядерно-неустойчивый осколок. При исследовании механизма этого своеобразного процесса тройного деления с помощью двухплечевого времязпролетного спектрометра было установлено, что вероятность образования ядерно-неустойчивых осколков с массами не менее 45 ат.ед. массы составляет величину  $W_{3+}/W_2 = (9 \pm 2) \cdot 10^{-3}$  от вероятности регистрации всех событий с двумя детектируемыми массивными осколками <sup>3</sup>. Оценка <sup>4</sup> среднего значения времени жизни массивных ядерно-неустойчивых осколков дала величину  $(1,8 \pm 0,2) \cdot 10^{-21}$  с.

Столь малое время жизни приводит к тому, что в любых экспериментах все частицы, возникающие в результате распада массивных ядерно-неустойчивых осколков, будут иметь траектории движения, исходящие из той же самой точки, что и два трека от дополнительных детектируемых осколков расщепления. Это обстоятельство может быть использовано для экспериментального изучения мод распада массивных ядерно-неустойчивых осколков с помощью трековой методики. Измеренная вероятность процесса тройного деления также позволяла надеяться на возможность визуального наблюдения как двух массивных детектируемых осколков, так и заряженных частиц сопровождения, представляющих собой конечный результат распада массивных ядерно-неустойчивых осколков. Наиболее подходящей для изучения этого распада оказалась методика регистрации заряженных частиц в бесподложечных слоях ядерной фотозмульсии с внедренными в ее состав ядрами  $^{238}\text{U}$  <sup>5</sup>. В проведенных экспериментах гарантировалась надежная идентификация происходящих от расщепления ядер  $^{238}\text{U}$  релятивистскими протонами массивных детектируемых осколков, что позволяло без большого труда отличать последние от фрагментов расщеплений ядер серебра и брома. Одновременно в каждом событии расщепления фиксировались треки всех заряженных частиц, сопровождающих два массивных

дектируемых осколка. Чувствительность слоев фотоэмulsionии позволяла наблюдать протоны с энергией вплоть до 100 МэВ, однако идентификация заряда или массы частиц сопровождения не производилась.



Зависимость от энергии налетающих протонов относительных вероятностей расщепления ядер  $^{238}\text{U}$  с образованием двух массивных осколков и нескольких заряженных частиц сопровождения. Измеренные вероятности нормированы на вероятность бинарного деления. Сплошные кривые проведены через темные точки, представляющие результаты фотоэмulsionционных экспериментов при энергиях протонов 0,66; 1; 3 и 9 ГэВ, светлая точка — относительная вероятность образования массивных ядерно-нестабильных осколков, полученная в работе <sup>3</sup>. Каждая кривая соответствует граничному значению  $n_z$  — числу треков заряженных частиц сопровождения

В результате облучения протонами с энергией 1 ГэВ ядерной фотоэмulsionии с внедренными в ее состав ядрами  $^{238}\text{U}$  было зарегистрировано 4042 события их расщеплений, в каждом из которых наблюдались два массивных осколка. Для каждого события определялось число треков  $n_z$  заряженных частиц, сопровождавших два массивных осколка. Значения  $n_z$ , найденные во всех событиях расщепления, изменялись в пределах от 0 до 13. Задача состояла в том, чтобы сопоставить экспериментальные данные о вероятности образования массивных ядерно-нестабильных осколков, полученные с помощью двухплечевого времязадерживающего спектрометра <sup>3</sup>, с данными о многочастичных расщеплениях в слоях ядерной фотоэмulsionии. Для этого были вычислены вероятности  $W_{n_z}/W_2$  появления событий в слоях фотоэмulsionии с множественностью  $n_z$  больше заданной. Вероятности вычислялись относительно общего количества зарегистрированных событий с двумя массивными детектируемыми осколками. Величины  $W_{n_z}/W_2$ , найденные из фотоэмulsionционного эксперимента, оказались равными  $(14,3 \pm 2) \cdot 10^{-3}$ ,  $(8,7 \pm 2) \cdot 10^{-3}$  и  $(4,6 \pm 2) \cdot 10^{-3}$ , соответственно, для  $n_z \geq 7, 8$  и 9. Совпадение с ранее измеренной относительной вероятностью для массивных ядерно-нестабильных осколков  $W_{3+}/W_2 = (9 \pm 2) \cdot 10^{-3}$  происходит для  $n_z \geq 8$ . Поскольку полученные в фотоэмulsionционном эксперименте значения  $W_{n_z}/W_2$  свидетельствуют о быстром уменьшении этого отношения с увеличением  $n_z$ , можно принять  $n_z = 8$  в качестве характеристики наиболее вероятного количества заряженных частиц, возникающих в результате распада массивных ядерно-нестабильных осколков. На рисунке показано сопоставление экспериментальных данных, полученных двумя методами. Темными точками изображены фотоэмulsionционные данные о вероятности наблюдения многочастич-

ных событий расщепления, а светлой точкой – вероятность образования ядерно-нестабильных осколков в расщеплениях ядер  $^{238}\text{U}$  протонами с энергией 1 ГэВ, найденная в экспериментах на двухплечевом времяпролетном спектрометре. На этом же рисунке приведены значения  $W_{n_z}/W_2$  для  $n_z \geq 7, 8$  и 9, полученные в ранее выполненных фотоэмulsionционных экспериментах по расщеплению ядер  $^{238}\text{U}$  протонами с энергией 0,66, 3 и 9 ГэВ. По экспериментальным значениям вероятностей для каждого  $n_z$  проведены сплошные кривые, которые свидетельствуют о быстром росте относительных вероятностей многочастичных расщеплений с увеличением энергии налетающих протонов. Этот вывод подтверждается экспериментально измеренным распределением множественности заряженных частиц сопровождения двух массивных осколков в расщеплениях ядер  $^{238}\text{U}$  протонами с энергией 0,46 ГэВ. События с  $n_z$ , указанными на рисунке, практически не наблюдались при этой энергии. Рисунок наглядно демонстрирует, что неопределенность найденного значения  $n_z$  не превышает 1, так что наиболее вероятное количество заряженных частиц, испускаемых при распаде массивных ядерно-нестабильных осколков, образующихся в расщеплениях ядер  $^{238}\text{U}$  протонами с энергией 1 ГэВ, составляет  $8 \pm 1$ .

В заключение следует сказать, что многочастичный распад ядра, называемый мультифрагментацией, исследуется в настоящее время<sup>6</sup> как процесс, конкурирующий с процессом деления. На примере расщепления ядра  $^{238}\text{U}$  релятивистскими протонами на три массивных осколка, один из которых оказывается ядерно-нестабильным и распадается на несколько более мелких фрагментов, показано сосуществование обоих процессов в одной ядерной реакции.

1. О.В.Бочкарев, А.А.Коршенинников, Е.А.Кузьмин и др., Ядерная физика **46**, 12 (1987).
2. W.G.Lynch, Nucl. Phys. A **471**, 309 (1987).
3. А.А.Жданов, В.И.Захаров, А.В.Кравцов и др., Письма в ЖЭТФ **54**, 311 (1991).
4. А.В.Кравцов, Г.Е.Солякин, Письма в ЖЭТФ **53**, 385 (1991).
5. Н.П.Филатов, Г.Е.Беловицкий, А.А.Жданов и др., Препринт ЛИЯФ-1404, 1988, 23.
6. G.Klotz-Engmann, H.Oeschler, J.Stroth et al., Nucl. Phys. A **499**, 392 (1989).